



Министерство науки и высшего образования Российской Федерации
Федеральное государственное бюджетное образовательное учреждение
высшего образования
«Московский государственный технический университет
имени Н.Э. Баумана
(национальный исследовательский университет)»
(МГТУ им. Н.Э. Баумана)

ФАКУЛЬТЕТ «Информатика и системы управления»

КАФЕДРА «Программное обеспечение ЭВМ и информационные технологии»

ОТЧЕТ ПО (УЧЕБНОЙ/ПРОИЗВОДСТВЕННОЙ) **ПРАКТИКЕ**

Студент Брянская Екатерина Вадимовна

фамилия, имя, отчество

Группа ИУ7-42Б

Тип практики учебная

Название предприятия _____

Студент

Брянская Е.В.

подпись, дата

фамилия, и.о.

Руководитель практики

подпись, дата

фамилия, и.о.

Оценка _____

2020 г.

Оглавление

1. Введение	4
2. 1. Аналитический раздел	5
3. 1.1 Объекты сцены	5
4. 1.2 Анализ алгоритмов удаления невидимых линий и поверхностей.....	6
5. 1.2.1 Алгоритм Робертса.....	7
6. 1.2.2 Алгоритм, использующий z-буфер.....	7
7. 1.2.3 Алгоритм обратной трассировки лучей	8
8. 1.2.4 Алгоритм Варнока.....	8
9. 1.2.5 Вывод.....	9
10. 1.3 Анализ алгоритмов закраски	9
11. 1.3.1 Простая закраска	9
12. 1.3.2 Закраска методом Гуро	9
13. 1.3.3 Закраска Фонга	10
14. 1.3.4 Вывод.....	10
15. 1.4 Анализ алгоритмов построения теней.....	10
16. 1.5 Анализ моделей освещения	11
17. 1.5.1 Модель Ламберта	11
18. 1.5.2 Модель Фонга.....	11
19. 1.5.3 Модель Блинна-Фонга.....	12
20. 1.5.4 Вывод.....	12
21. 1.6 ???Анализ алгоритмов наложения текстур на объекты трехмерной сцены.....	13
22. 1.7 Физическая модель поведения объектов текущей сцены	13
23. 1.8 Вывод из аналитической части.....	14
24. 2. Конструкторский раздел	15
25. 2.1 Возможности программы.....	15
26. 2.2 Общий алгоритм работы программы	15
27. 2.3 Алгоритм z-буфера.....	17
28. 2.4 Алгоритм закраски по Гуро	19
29. 2.5 Модель освещения Фонга	19
30. 2.7 Физика песка	21
31. 3. Технологический раздел	24
32. 4. Исследовательский раздел	25
33. Заключение.....	26
34. Список использованной литературы	27

35. Приложение.....	28
---------------------	----

Введение

В современном мире роль компьютерной графики огромна, она применима везде, где нужно создание и обработка изображений и каких-либо цифровых данных. Спецэффекты в фильмах, реклама, компьютерные игры – всё это проявления компьютерной графики, которая используется повсеместно. Она применяется в большинстве инженерных и научных дисциплинах для передачи информации, её наглядного восприятия.

Одной из основных задач компьютерной графики является создание наиболее приближенного к реальной жизни изображения. В процессе работы необходимо учитывать свойства не только самого объекта, но и окружающих тел, среды. Существует много алгоритмов, которые решают данную задачу, но зачастую они достаточно затратны как по времени, так и по используемой памяти. Поэтому необходимо корректно подбирать алгоритм при моделировании чего-либо, исходя из конкретной цели.

Цель данной работы - разработать программу моделирования работы песочных часов.

Измерительное время пользователь выбирает из предлагаемых вариантов. Программа даёт возможность задания в соответствующем текстовом поле положения источника освещения, камеры, её перемещения вокруг объекта. Пользователь может начать повторный отсчет по истечении времени работы прибора. Программа должна предусматривать построение теней часов и песка в них. При разработке программы необходимо учитывать прозрачность стекла и блики от источников освещения.

В ходе достижения поставленной цели решается следующий ряд задач:

- 1) описать из каких объектов состоит сцена, как они представляются и как будут заданы в программе
- 2) проанализировать алгоритмы для визуализации трёхмерной сцены, при необходимости рассмотреть модификации, и сделать выбор

- 3) разработать физическую модель песочных часов, которая была бы наиболее приближенной к реальности
- 4) реализовать выбранные алгоритмы
- 5) реализовать интерфейс, отвечающий заданным требованиям и предоставляющий пользователю заявленные возможности

1. Аналитический раздел

1.1 Объекты сцены

Сцена состоит из следующих объектов:

- непосредственно ограничивающая плоскость – расположена параллельно плоскости OXZ
- песочные часы – располагаются на ограничивающей плоскости

Можно выделить следующие составляющие:

1. стеклянная часть – её свойства необходимо учитывать при изображении теней, бликов, моделировании песка
 2. песок – совокупность мелких песчинок, которая приходит в движение при отсчете времени. Время вышло – состояние, при котором всё содержимое верхней части часов пересыпалось в нижнюю.
 3. непрозрачные подставки (сверху и снизу) – представляют собой параллелепипеды, основания которых параллельны ограничивающей плоскости, а боковые ребра перпендикулярны ей
- источник освещения – начальное положение указывается по умолчанию, но пользователь может его поменять. Но предполагается, что источник находится в бесконечности
 - камера - начальное положение указывается по умолчанию, но пользователь может его изменить, указав координаты в соответствующие текстовые поля

Непрозрачные подставки, стеклянная часть часов будут описываться с помощью каркасной модели, так как любые другие будут содержать информацию, которая будет излишней для данной задачи.

Песок “разбивается” на части:

- песок, который ещё не пересыпался, и песок, который уже пересыпался – будут представляться в виде полигональной сетки
- движущиеся частички – представляются в виде каркаса треугольных пирамид

Использование объёмной модели в данной задаче не рационально в силу излишней информации для данных объектов и затрат по памяти.

1.2 Анализ алгоритмов удаления невидимых линий и поверхностей

Задача удаления невидимых линий и поверхностей является достаточно сложной, поэтому существует много алгоритмов, решающих её. Но наилучшего решения общей задачи удаления нет, поэтому нужно ориентироваться на цель, преследуемую в конкретной работе.

Одной из главных задач состоит в том, чтобы наиболее правдоподобно показать пересыпание песка, так как основная идея песочных часов заключается именно в этом. Для этого нужно добиться плавности движения и равномерности движения частиц, то есть важно качество анимации. Другими словами, главным фактором является быстроедействие.

Рассмотрим некоторые из основных алгоритмов удаления невидимых линий и поверхностей, проанализируем их и выберем наиболее подходящий.

1.2.1 Алгоритм Робертса

Плюсом данного алгоритма является то, что математические методы, которые здесь задействованы, являются достаточно мощными и точными, а сам алгоритм прост для понимания.

На первом этапе удаляются те рёбра или грани, которые экранируются самим телом, далее те, что экранируются другими телами сцены. И если тела, связаны отношением взаимного протыкания, то удаляются невидимые линии пересечения тел.

К минусам алгоритма следует отнести тот факт, что вычислительная ёмкость растёт как квадрат числа объектов. То есть при большом количестве объектов на сцене алгоритм не будет отличаться своим быстрым действием. Но существуют различные оптимизации, например, с использованием предварительной приоритетной сортировки вдоль оси z [1].

1.2.2 Алгоритм, использующий z-буфер

К достоинствам можно отнести то, что это один из простейших алгоритмов удаления невидимых линий и поверхностей. Также он позволяет визуализировать пересечения этих поверхностей. Элементы сцены не нужно сортировать, следовательно, на это не тратится время.

Сцена может быть любой сложности, а так как размеры изображения ограничены размером экрана, то трудоёмкость линейно зависит от числа поверхностей.

Но есть и существенные недостатки у этого алгоритма: большой объём требуемой памяти, трудоёмкость реализации таких эффектов, как прозрачность и освещение, но есть специальные модификации, направленные на разрешение проблемы с их визуализацией.

1.2.3 Алгоритм обратной трассировки лучей

В этом алгоритме считается, что точка зрения находится в бесконечности на положительной полуоси z и поэтому все световые лучи параллельны этой оси. Траектория каждого луча отслеживается, чтобы определить, какие именно объекты сцены, если таковые существуют, пересекаются с данным лучом.

Этот алгоритм позволяет получать такие эффекты как отражение, преломление и т.д. Другими словами, изображение становится более реалистичным. Расчёт отдельной точки изображения производится независимо от других, поэтому в этом алгоритме поддерживается высокая степень параллельности вычислений.

К недостаткам этого алгоритма нужно отнести высокую вычислительную стоимость расчетов. Каждая точка изображения требует много вычислительных операций. Очень много времени тратится на поиск пересечений, что зачастую тормозит работы алгоритма[1].

1.2.4 Алгоритм Варнока

Единой версии этого алгоритма не существует. Но все модификации основываются на рекурсивном разбиении окна.

Для каждого окна определяются многоугольники, которые связаны с ним, и те, у которых легко определить видимость, изображаются. Если нет, то разбиение на подокна продолжается до тех пор, пока либо нельзя будет принять однозначное решение, либо размер окна не станет равным одному пикселю.

На каждом этапе разбиения осуществляется определение расположения многоугольников относительно текущего окна.

Насколько быстро будет работать алгоритм, зависит от сложности сцены. Так как было решено использовать полигональную сетку, то это может затормозить выполнение алгоритма.

1.2.5 Вывод

Проанализировав алгоритмы удаления невидимых линий и поверхностей, можно подобрать наиболее подходящий для данной задачи.

В силу того, что в сцене будет присутствовать такой сложный объект, как песок, который будет пересыпаться, использование алгоритма Варнока нецелесообразно, так как сцена будет достаточно сложной.

Как уже отмечалось алгоритм обратной трассировки хоть и даёт реалистичное изображение, но требует больших временных затрат, в текущей же задаче быстроедействие алгоритма играет одну из ключевых ролей.

Предпочтительнее использовать алгоритм с z-буфером, так как он позволяет работать со сценой любой сложности и обеспечивает её обработку за меньшее время. Кроме того, при работе с освещением, закраской z-буфер легко подстраивается под модификации.

1.3 Анализ алгоритмов закраски

1.3.1 Простая закрашка

Один из самых быстрых алгоритмов. В основе лежит закон Ламберта, который говорит о том, что интенсивность отражённого света пропорциональна косинусу угла между направлением света и нормалью к поверхности.

Поверхность предметов, которая была изображена с помощью этого алгоритма, выглядит визуально матовой и блеклой. Это происходит потому, что вся грань закрашивается с постоянной интенсивностью [1].

1.3.2 Закраска методом Гуро

Благодаря этому алгоритму можно получить сглаженное изображение. Сначала определяется интенсивность вершин, а затем с помощью билинейной интерполяции вычисляется интенсивность соответствующего пикселя.

Недостаток алгоритма – появления полос Маха, это можно исправить, если увеличить число обрабатываемых граней, но это приводит к замедлению процесса визуализации [3].

Закраску Гуро лучше всего использовать с простой моделью с диффузным отражением, так получается более реалистичное изображение [1].

1.3.3 Закраска Фонга

В закраске по Фонгу интерполирование происходит по вектору нормали, в отличие от закраски по Гуро, где используется значение интенсивности. Тем самым изображение становится более реалистичным, а зеркальные блики выглядят более правдоподобно.

Но у этого метода есть существенный недостаток: большие вычислительные затраты, так как сначала производится работа с нормальями, а затем по ним находятся соответствующие интенсивности [1].

1.3.4 Вывод

Так как в текущей задаче будут использоваться полигональные сетки и, желательно, чтобы были незаметны, сглажены границы многоугольников, то лучше всего подойдёт алгоритм закраски по Гуро.

1.4 Анализ алгоритмов построения теней

Для придания естественности необходимо учитывать тени от объектов. Из всех алгоритмов, выполняющих данную задачу, нужно выбрать наиболее подходящий для реализации текущей трёхмерной сцены.

В общем случае построение теней производится в два этапа удаления невидимых поверхностей (относительно положения наблюдателя и каждого

источника освещения). Поэтому построение теней лучше всего внедрить в выбранный алгоритм удаления невидимых поверхностей [1].

При построении теней может использоваться матрица теней, в которой помечаются затеняемые многоугольники и многоугольники, отбрасывающие тень.

Определять видимость объектов сцены можно с помощью алгоритмов z-буфера, Робертса и других. Удобнее работать с алгоритмом z-буфера, так как он позволит сделать это быстрее.

Важно помнить тот факт, что положение теней зависит только от расположения источника, а не от наблюдателя.

1.5 Анализ моделей освещения

Освещение тоже играет не последнюю роль в данной задаче, а в силу того, что на сцене будет моделироваться стекло, нужно подобрать соответствующую модель.

1.5.1 Модель Ламберта

Является одной из самых простых моделей освещения. Она моделирует идеальное диффузное освещение, сама поверхность выглядит одинаково яркой со всех направлений. Считается, что при попадании на поверхность свет равномерно рассеивается по всем направлениям. В основе расчетов лежит закон Ламберта.

1.5.2 Модель Фонга

Представляет из себя классическую модель освещения, комбинируя диффузную составляющую (модель Ламберта) и зеркальную составляющую. Таким образом, на объекте может появиться ещё и блик, что придаёт больше

Модель Фонга учитывает только свойства текущей точки и источника освещения, а такие эффекты как рассеивание, отражение от других тел игнорируются.

Есть большое сходство с моделью Фонга, только она исключает расчёт отражённого луча, что гораздо упрощает вычисления, тем самым, экономится время работы. Но существенной разницы нет.

Чем ближе такой вектор к нормали поверхности, тем больше будет вклад зеркальной компоненты.

1.5.4 Вывод

|||||

|||||

|||||

|||||

1
 2
 3
 4
 5
 6
 7
 8
 9
 10
 11
 12
 13
 14
 15
 16
 17
 18
 19
 20
 21
 22
 23
 24
 25
 26
 27
 28
 29
 30
 31
 32
 33
 34
 35
 36
 37
 38
 39
 40
 41
 42
 43
 44
 45
 46
 47
 48
 49
 50
 51
 52
 53
 54
 55
 56
 57
 58
 59
 60
 61
 62
 63
 64
 65
 66
 67
 68
 69
 70
 71
 72
 73
 74
 75
 76
 77
 78
 79
 80
 81
 82
 83
 84
 85
 86
 87
 88
 89
 90
 91
 92
 93
 94
 95
 96
 97
 98
 99
 100
 101
 102
 103
 104
 105
 106
 107
 108
 109
 110
 111
 112
 113
 114
 115
 116
 117
 118
 119
 120
 121
 122
 123
 124
 125
 126
 127
 128
 129
 130
 131
 132
 133
 134
 135
 136
 137
 138
 139
 140
 141
 142
 143
 144
 145
 146
 147
 148
 149
 150
 151
 152
 153
 154
 155
 156
 157
 158
 159
 160
 161
 162
 163
 164
 165
 166
 167
 168
 169
 170
 171
 172
 173
 174
 175
 176
 177
 178
 179
 180
 181
 182
 183
 184
 185
 186
 187
 188
 189
 190
 191
 192
 193
 194
 195
 196
 197
 198
 199
 200
 201
 202
 203
 204
 205
 206
 207
 208
 209
 210
 211
 212
 213
 214
 215
 216
 217
 218
 219
 220
 221
 222
 223
 224
 225
 226
 227
 228
 229
 230
 231
 232
 233
 234
 235
 236
 237
 238
 239
 240
 241
 242
 243
 244
 245
 246
 247
 248
 249
 250
 251
 252
 253
 254
 255
 256
 257
 258
 259
 260
 261
 262
 263
 264
 265
 266
 267
 268
 269
 270
 271
 272
 273
 274
 275
 276
 277
 278
 279
 280
 281
 282
 283
 284
 285
 286
 287
 288
 289
 290
 291
 292
 293
 294
 295
 296
 297
 298
 299
 300
 301
 302
 303
 304
 305
 306
 307
 308
 309
 310
 311
 312
 313
 314
 315
 316
 317
 318
 319
 320
 321
 322
 323
 324
 325
 326
 327
 328
 329
 330
 331
 332
 333
 334
 335
 336
 337
 338
 339
 340
 341
 342
 343
 344
 345
 346
 347
 348
 349
 350
 351
 352
 353
 354
 355
 356
 357
 358
 359
 360
 361
 362
 363
 364
 365
 366
 367
 368
 369
 370
 371
 372
 373
 374
 375
 376
 377
 378
 379
 380
 381
 382
 383
 384
 385
 386
 387
 388
 389
 390
 391
 392
 393
 394
 395
 396
 397
 398
 399
 400
 401
 402
 403
 404
 405
 406
 407
 408
 409
 410
 411
 412
 413
 414
 415
 416
 417
 418
 419
 420
 421
 422
 423
 424
 425
 426
 427
 428
 429
 430
 431
 432
 433
 434
 435
 436
 437
 438
 439
 440
 441
 442
 443
 444
 445
 446
 447
 448
 449
 450
 451
 452
 453
 454
 455
 456
 457
 458
 459
 460
 461
 462
 463
 464
 465
 466
 467
 468
 469
 470
 471
 472
 473
 474
 475
 476
 477
 478
 479
 480
 481
 482
 483
 484
 485
 486
 487
 488
 489
 490
 491
 492
 493
 494
 495
 496
 497
 498
 499
 500
 501
 502
 503
 504
 505
 506
 507
 508
 509
 510
 511
 512
 513
 514
 515
 516
 517
 518
 519
 520
 521
 522
 523
 524
 525

Как было уже упомянуто, основной целью является моделирование реалистичного процесса работы песочных часов. Вместе с этим большое внимание уделяется эффективности задействованных алгоритмов. Задача непростая, так как песок будет состоять из большого числа частиц, которые должны равномерно пересыпаться, каждая из них обладает скоростью, размером и т.д.

Начальное положение часов: весь песок находится в верхней части. Далее с течением времени он пересыпается в нижнюю. То есть, объём песка в верхней части должен равномерно уменьшаться, причём должны соблюдаться соответствующие физические законы. Аналогичная картина будет наблюдаться в нижней части, только количество песка должно увеличиваться. При моделировании теней необходимо учитывать тот факт, что и движущийся песок отбрасывает тень, доля анимации должна присутствовать и здесь. Время пересыпания должно соответствовать реальному.

Вся система осложняется наличием стеклянной части, свойства которой необходимо учитывать при освещении, моделировании теней и т.д.

1.8 Вывод из аналитической части

В данном разделе были рассмотрены алгоритмы удаления невидимых линий и поверхностей, закраски, алгоритмы построения теней, проанализирована физическая модель песочных часов.

В результате анализа для моделирования был выбран алгоритм z-буфера (удаление невидимых линий и поверхностей), метод Гуро (закраска), построение теней будет осуществляться с помощью z-буфера, а песок будет представляться в виде системы частиц, которая подчиняется соответствующим физическим законам.

Входным данным является измерительное время, которое пользователь выбирает из предлагаемого списка. Пользователь может поменять расположение камеры, источника освещения. Все изменения, которые могут быть внесены пользователем, должны быть учтены при разработке графического интерфейса программного продукта.

2. Конструкторский раздел

В этом разделе будут описаны используемые методы и алгоритмы.

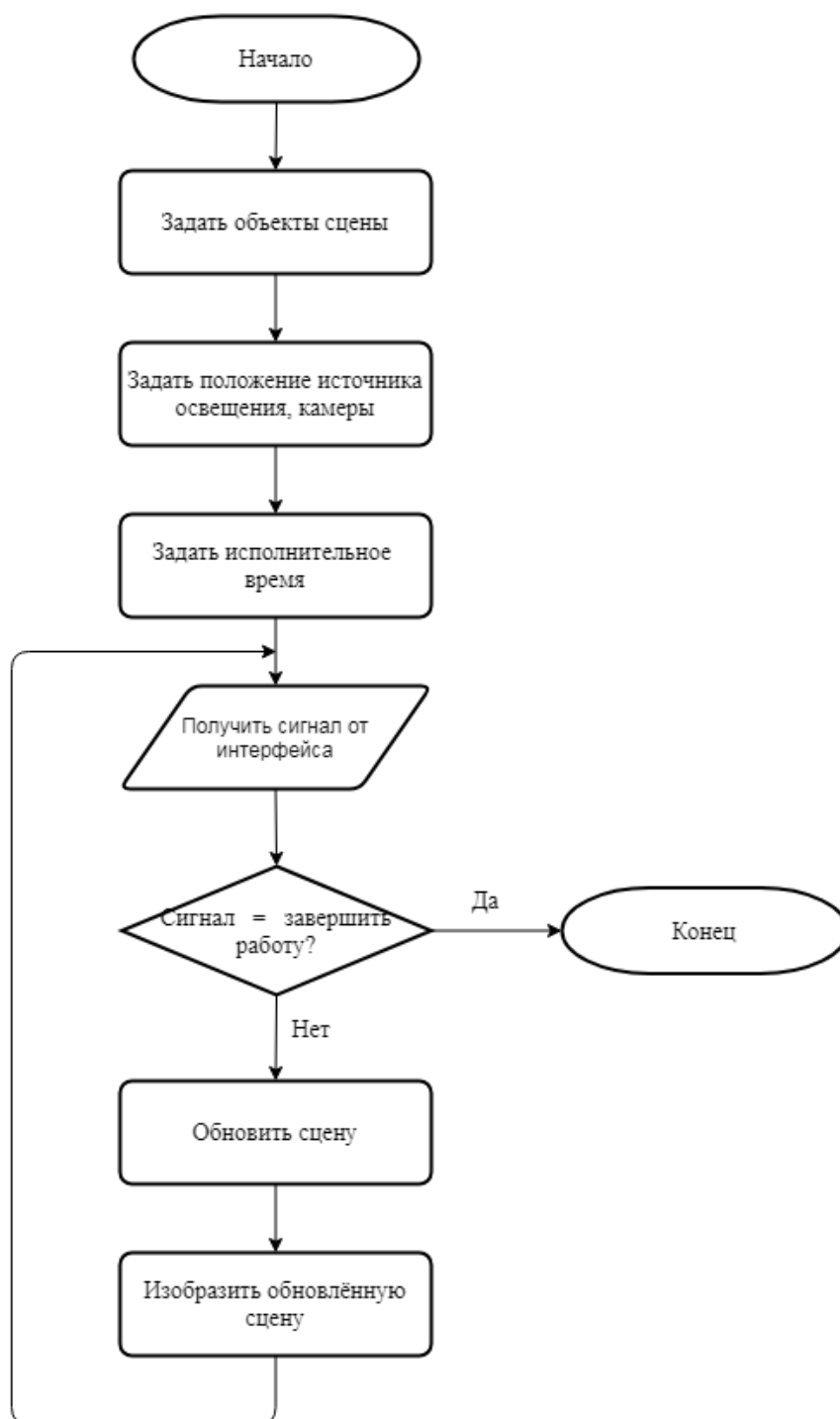
2.1 Возможности программы

Программа предоставляет возможность:

- выбора из предлагаемого списка измерительного времени
- задания в соответствующем текстовом поле положения источника освещения, камеры
- перемещать камеру вокруг объекта
- повторного отсчета по истечении времени работы прибора

2.2 Общий алгоритм работы программы

Общий алгоритм выглядит следующим образом:



В качестве сигнала может выступать команда перемещения камеры вокруг объекта, смены положения источника освещения, начала работы, повторного отсчёта времени (только при окончании уже запущенного процесса), завершения работы.

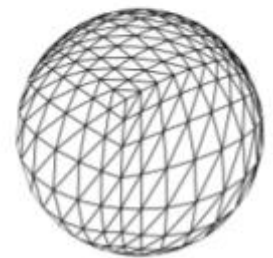
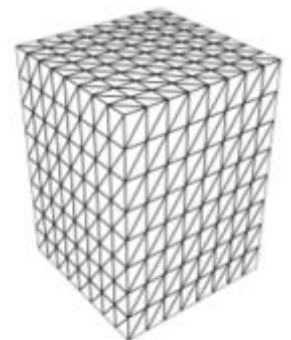
2.3 Создание полигональной сетки

В ходе работы программы будет активно использоваться полигональная сетка. Это совокупность вершин, рёбер и граней, которые определяют форму многогранного объекта в трёхмерной компьютерной графике и объёмном моделировании.

Гранями обычно являются треугольники, четырёхугольники или многоугольники, при этом у каждой грани высчитывается нормаль.

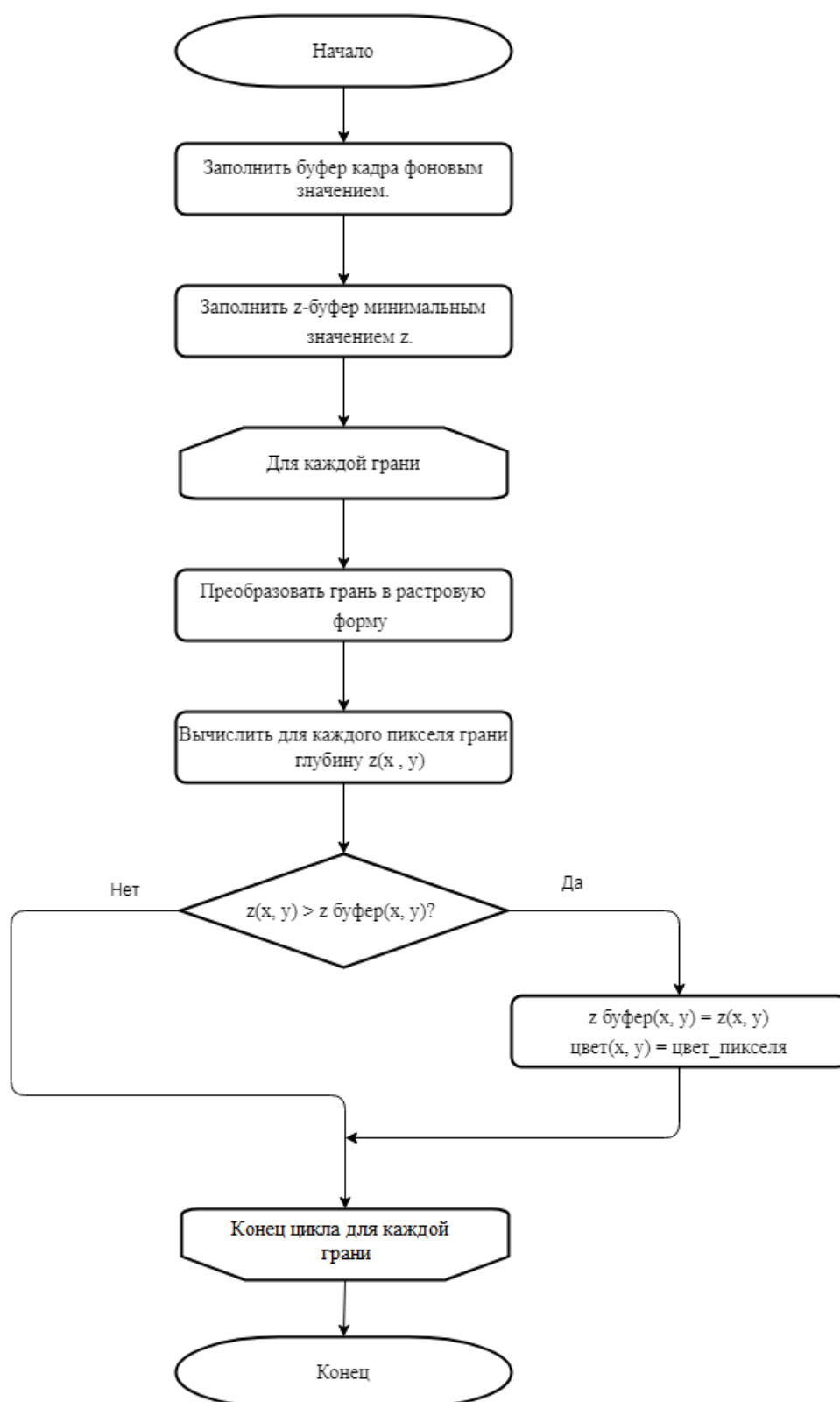
Наиболее удобно использовать треугольник, так как:

- 1) любой многоугольник можно разделить на несколько треугольников
- 2) сам треугольник можно разбить на треугольники меньшей площади
- 3) треугольник не может быть невыпуклым, и это свойство упрощает работу
- 4) позволяют эффективно использовать память, так как можно организовать хранение так, чтобы для каждого следующего треугольника нужно будет добавлять только одну вершину



Построение полигональной сетки осуществляется следующим образом: зная число разбиений по осям, можно по рассматриваемой формуле плоскости найти неизвестное, тем самым заполнив “ячейку” сетки. Далее все полученные точки соединяются в четырёхугольники, и в каждом четырёхугольнике строится диагональ, которая разбивает его на два треугольника. Все параметры разбиения заданы таким образом, чтобы обеспечить не только качественную визуализацию, но и минимальные, насколько это возможно затраты по памяти.

2.3 Алгоритм z-буфера



Трудоёмкость этого алгоритма линейно зависит от числа поверхностей на сцене.

2.4 Алгоритм закраски по Гуро

Сначала определяется интенсивность вершин, а затем вычисляется интенсивность соответствующего пикселя.

Этот метод хорошо сочетается с построчным сканированием. Для каждой сканирующей строки определяются её точки пересечения с рёбрами. В этих точках интенсивность вычисляется с помощью линейной интерполяции интенсивностей в вершинах рёбра. Затем для всех пикселей, находящихся внутри многоугольника и лежащих на сканирующей строке, аналогично вычисляется интенсивность.

Можно заранее высчитать нормали к каждой вершине, чтобы не делать эти вычисления в процессе работы алгоритма. Интенсивность в вершинах полигона определяется как скалярное произведение вектора светового луча и нормали в вершине.

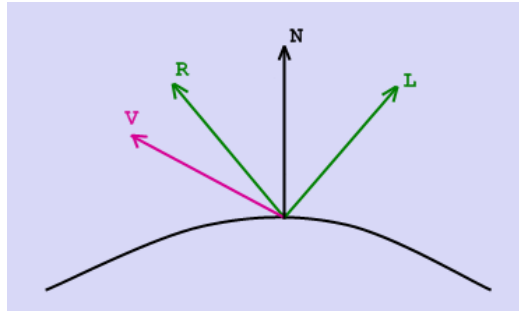


2.5 Модель освещения Фонга

Заданы: точечный источник света, поверхность, которая будет освещаться, сам наблюдатель. У каждой точки поверхности есть свои координаты, и определена нормаль к поверхности в этой точке.

Падающий и отраженный лучи лежат в одной плоскости с нормалью к отражающей поверхности в точке падения, и она делит угол между лучами на

две равные части, где \vec{V} – направление на наблюдателя, \vec{L} – направление на источник, \vec{R} – отраженный луч.



Эта модель учитывает фоновую, рассеянную компоненты освещения и глянцевые блики.

По свойствам источника определяются мощности изучения каждой из трёх составляющих.

Для удобства все векторы считаются единичными, это необходимо для того, чтобы можно было сказать, что косинус угла между ними совпадает со скалярным произведением.

Интенсивность по модели Фонга рассчитывается следующим образом:

$$I = k_a I_a + k_d (\vec{N}, \vec{L}) + k_s (\vec{N}, \vec{V})^p, \text{ где}$$

k_a – коэффициент фонового освещения

k_d – коэффициент диффузного освещения

k_s – коэффициент зеркального освещения

I_a – мощность фонового освещения (заранее задаётся для всей сцены)

\vec{N} – вектор нормали к поверхности в данной точке

\vec{L} – направление из точки на источник

\vec{V} – направление на наблюдателя

p – коэффициент блеска

При фиксированном положении поверхности относительно источника освещения фоновая и рассеянные составляющие можно высчитать только один раз, так как они не зависят от положения наблюдателя. А зеркальная компонента зависит, поэтому её надо вычислять каждый раз, когда меняется положение наблюдателя.

2.7 Физика песка

Как упоминалось выше, песок будет разделён условно на три части: верхнюю, пересыпающуюся и нижнюю. Каждая из компонент подчиняется своим физическим законам, которые будут далее описаны.

Верхняя часть:

Условно разбивается на две составляющие: повторяющая форму часов боковая поверхность и образующая выемку в верхней части всего объёма. Обе компоненты задаются с помощью каркасной модели.

Боковая поверхность представляет собой перевёрнутую усечённую пирамиду с маленьким основанием в месте соприкосновения верхней и нижней части часов.

Поверхность, образующая выемку в песке, задаётся однородной полигональной сеткой, определяемой уравнением $y(x, z) = -\frac{e^{-\frac{(mx^2+mz^2)^2}{10}}}{k}$, где коэффициенты m, k зависят от времени.

С течением времени, когда глубина выемки достигнет своего максимума, вся система верхней части песка начнёт “проседать”, то есть уменьшаться в объёме. Другими словами, высота усечённой пирамиды будет равномерно уменьшаться, и поверхность с выемкой будет вместе с ней опускаться вниз. Так будет продолжаться до тех пор, пока всё содержимое часов не окажется в нижней части.

Экспериментально было выявлено, что на формирование выемки уходит примерно $\frac{1}{10}t$, где t – измерительное время, а $\frac{9}{10}t$ на пересыпание.

Таким образом, за 1 единицу времени уровень песка будет снижаться на $\frac{10h}{9t}$, где h – начальный уровень. (!!!!!!!!!!!!!)

Нижняя часть:

Процессы и представление песка аналогичны тем, что были описаны в верхней части, только вместо выемки будет наблюдаться растущая со временем горка из песка, поверхность которой описывается следующим образом: $y(x, z) = \frac{e^{-\frac{(mx^2 + mz^2)^2}{10}}}{k}$, где коэффициенты m, k зависят от времени.

С течением времени, горка расти перестанет, но будет продолжать увеличиваться объём пересыпанного песка, и вся система нижней части будет равномерно подниматься (увеличивается высота усеченной пирамиды, которая описывает боковую поверхность уже нижней части песка, и поднимается поверхность с горкой). Процесс продолжается до тех пор, пока не пересыплется весь песок.

Время, которое затрачивается на каждый из процессов, совпадает с временными затратами, описанными в предыдущем пункте.

Пересыпающаяся часть:

Как было упомянуто выше, эта часть представляет собой совокупность частиц, которые имеют форму треугольных пирамид, описанные с помощью каркасной модели.

Все частицы будут падать с ускорением, и их скорость будет изменяться следующим образом: $v = at$, где v – скорость, a – ускорение, t – время; и

соответственно ордината будет меняться в соответствии с формулой: $y = y_0 - \frac{at^2}{2}$, где y_0 , y – начальная и текущая ординаты.

3. Технологический раздел

4. Исследовательский раздел

Заключение

Список использованной литературы

1. Роджерс Д. Алгоритмические основы машинной графики: Пер. с англ. – М.: Мир, 1989. – 512 с.
2. Методы представления дискретных трехмерных данных [Электронный ресурс]. – Режим доступа:
https://www.graphicon.ru/oldgr/ru/library/multires_rep/index.html (дата обращения 02.07.20)
3. Алгоритмы закраски [Электронный ресурс]. – Режим доступа:
https://studbooks.net/2248060/informatika/odnotonnaya_zakraska_metod_graneniya (дата обращения 03.07.20)
4. Обзор алгоритмов построения теней в реальном времени [Электронный ресурс]. – Режим доступа:
<https://www.ixbt.com/video/realtimeshadows.shtml> (дата обращения 04.07.20)
5. Ошаровская Е.В., Солодка В.И. Синтез трехмерных объектов с помощью полигональных сеток, Цифровые технологии, 2012, No.12, 2-9
6. Простые модели освещения [Электронный ресурс]. – Режим доступа:
<http://grafika.me/node/344> (дата обращения 05.07.20)
7. Продвинутое освещение. Модель Блинна-Фонга [Электронный ресурс]. – Режим доступа:
<https://habr.com/ru/post/353054/> (дата обращения 06.07.20)
- 8.

Приложение